

ლიბრაძე გ.,¹ ბაკურიძე ა.,² ძიძიგური ლ.³,
ძიძიგური დ.,⁴¹ ჯოხაძე მ.,² ვადაჭკორია ზ.¹

ცენტრალური მაღავოეპის გამოყენებით ზრდის მარეგულირებელი ენდოგენური ცილეპის კანი გიოგილივაზოპის შედარე- გითი შასენავლა IN VITRO და EX VIVO ცვლა

თსსუ, ჩავვათა და მოზარდთა ყბა-სახის
ეირული გიოგილის სტრუქტურული გიოგილის
და არართული გიოგილის მარტივი მოვალეობის
და არართული გიოგილის მარტივი მოვალეობის
რაოდა მარტივი გიოგილის და არართული გიოგილის
ავავაციული გიოგილის მარტივი მოვალეობის მარტივი გიოგილის
უნივერსიტეტის სახელობის თავისი მარტივი მოვალეობის მარტივი გიოგილის

ჰემანგიომა მეტად გავრცელებული ახალწარმო-
ნაქმნია ბავშვთა ასაკში. იგი მოიცავს ახალშობილთა
სიმსივნეების 12%-ს. დაავადების 60% აღინიშნება
თავისა და კისრის არეში და ამრიგად, დღემდე რჩება
ყბა-სახის ქირურგიის აქტუალურ პრობლემად ბავშ-
ვებში, რაც, თავის მხრივ, მკურნალობის და დიაგნოს-
ტიკის ახალი მეთოდების ძიების საფუძველი ხდება.
ნამლის მიღების პარენტერული გზიდან განსაკუთრე-
ბულ ინტერესს იწვევს გარეგანი დანიშნულების
ნამლის ფორმები: ემულსიები, მალამოები, ემპლას-
ტროები და ა.შ.მალამოების მეშვეობით შესაძლებე-
ლია ადგილობრივი და რეზორბციული მოქმედების
მიღება, აქტიური ფარმაცევტული ინგრედიენტის
(აფი) უშუალოდ დაზიანებულ უბანში მიწოდება, მისი
მაღალი კონცენტრაციის შექმნა კანში, ქსოვილებში,
ბიოლოგიურ სითხეებსა და ორგანოებში, ასევე, აქტი-
ურ ფარმაცევტულ ინგრედიენტზე ღვიძლის პირვე-
ლადი მეტაბოლიზმის, ფერმენტული სისტემის, pH-
ის, უარყოფითი ზემოქმედების თავიდან აცილება(6).
ამ თვალსაზრისისთვის აღნიშვნა კანსა და კან-
ქვეშ განვითარებული სისხლძარღვების კეთილთვისე-
ბიანი სიმსივნეების სამკურნალოდ ბიოლოგიურად აქ-
ტიური ბუნებრივი ნაერთების ადგილობრივი მიწოდე-
ბა. თერმოსტაბილური ცილების კომპლექსები გამო-
ყოფილია სხვადასხვა ორგანიზმების განსხვავებული
ორგანოებიდან. დადგენილია, რომ თერმოსტაბილურ
ცილოვან კომპლექსს (თცკ) არ ახასიათებს სახე-
ობრივი სპეციფიკურობა, ხოლო მისი ქსოვილს პეცი-
ფიკურობა მხოლოდ ტერმინალურად დიფერენცირე-
ბულ უჯრედებთან მიმართებაში ვლინდება (9,10,11).

ჩვენს მიერ შესწავლილია ნეიტრალურ მაღამოში
იმობილიზებული ზრდასრული ქათმების ღვიძლის
ცილოვანი კომპლექსის უჯრედების გამრავლებაზე
ზემოქმედება. ამ მიზნით 7 დღიანი ვირთაგვების მუ-
ცლის არეში კანზე დატანილი იქნა 150მგ ნეიტ-
რალური ნახშირნყალბადოვანი მაღამო, რომელშიც
ნინასწარ იმობილიზებული იყო ზრდასრული ქათმის
ღვიძლის უჯრედებიდან გამოყოფილი თცკ (200მკგ).
ნაჩვენებია, რომ ნეიტრალურ მაღამოში იმობილიზე-
ბული ქათმის ღვიძლის თერმოსტაბილური ცილოვანი
კომპლექსი (თცკ) ინარჩუნებს მოზარდი ვირთაგვე-
ბის უჯრედების გამრავლების დამთრგუნველი ზე-
მოქმედების უნარს/1/. მიღებული მონაცემების და
სისხლძარღვების მოდელურ სისტემაზე (ქათმის
ბიბილო) ანალოგიური კვლევის ჩატარების შემდეგ
დადებითი შედეგების მიღების შემთხვევაში, შესა-

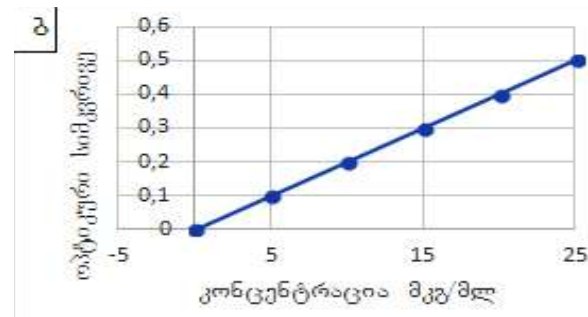
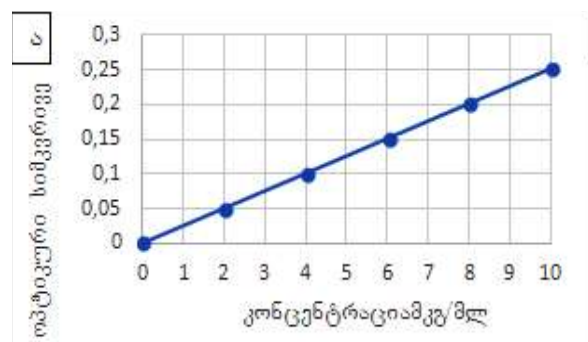
ძლებელია ნეიტრალური ნახშირნყალბადოვანი მაღამო გამოყენებული იყოს, როგორც წყალშიხსნადი ენდოგნური ცილოვანი ფაქტორების ორგანიზმში არა-ინგაზური გზით მიწოდების ფექტური საშუალება. ალნიშნული მიზნის მისაღწევად, ასევე, აუცილებელია მაღამოში იმობილიზებული ცილოვანი ნაერთების სხვადასხვა სისქის კანში შეღწევადობის დადგენა.

კვლევის მიზანის წარმოადგენდა ზრდის მარეგულირებელი თერმოსტაბილური ცილოვანი კომპლექსის, სალიცილის მჟავას და რუტინის შემცველი მაღამოების, შედარებითი დიფუზური პროცესების და ბიოშეღწევადობის შესწავლა *in vitro* და *ex vivo* ცდებში.

კვლევის ობიექტები და მეთოდები. კვლევის ობიექტებად შერჩეული იყო სალიცილის მჟავა, რუტინი და თერმოსტაბილური ცილოვანი კომპლექსი.

სალიცილის მჟავას და რუტინის საკალიბრო გრაფიკების ასაგებად გამხსნელად გამოყენებული იქნა ფოსფატური ბუფერი pH-ით 7,4, განსაზღვრა კი - UV-სპექტროფოტომეტრის გამოყენებით ("19HANON"), სალიცილის მჟავა - 297 ნმ, რუტინი კი - 358 ნმ ტალღის სიგრძეზე. სალიცილის მ�ჯავას 10მგ-ს გახსნილი იქნა 100მლ ბუფერში - სამუშაო სტანდარტის - 100მგ/მლ-ში მისაღებად. საწყისი ხსნარიდან ალიქონტები 0,2მლ-დან 1,0მლ-მდე, რომელიც შეესაბამება 2-დან 10მგ/მლ აქტიურ ფარმაცევტულ ინგრედიენტს, გადაიტანებოდა 10მლ მოცულობის გამზომ კოლბში და გამხსნელით აიყვანებოდა ჭდემდე. რუტინის 20მგ-ს იხსნებოდა 100მლ ბუფერში - სამუშაო სტანდარტის - 200მგ/მლ-ში მისაღებად. საწყისი ხსნარიდან ალიქონტები 0,2მლ-დან 2,0 მლ-მდე, რომელიც შეესაბამება 2-დან 20მგ/მლ აქტიურ ფარმაცევტულ ინგრედიენტს, გადაიტანებოდა 10მლ მოცულობის გამზომ კოლბში და გამხსნელით აიყვანებოდა ჭდემდე. შესადარებელი ხსნარი მზადდებოდა იგივენაირად, პრეპარატების დამატების გარეშე. აგებულ იქნა შთანთქმის კონცენტრაციაზე დამოკიდებულების გრაფიკი, რომელიც აღმოჩნდა სწორხაზობრივი 2-დან 10მგ/მლ (სალიცილის მჟავას) და 2-დან 20მგ/მლ (რუტინის) დაიპაზონში, რაც მეტყველებს იმაზე, რომ ორივე შემთხვევაში შეესაბამება პერის კანონს (სურ. №1).

თცე-ის სპექტრული თვისებების განსაზღვრა. თცე-ის სპექტრული მაღამოს დიფუზუზის პროფილის შესწავლის მიზნით 10მგ ცილა გაიხსნა 20 მლ ფოსფატურ ბუფერში, გადატანილ იქნა 25მლ მოცულობის გამზომ კოლბში და ფოსფატური ბუფერით ავსებულ იქნა ჭდემდე. ცილის შთანთქმის სპექტრი გადაღებულ იქნა UV-სპექტროფოტომეტრზე ("19HANON"), 200-დან 450ნმ ტალღის სიგრძის დიაპაზონში. საკონტროლოდ გამოყენებული იყო ფოსფატური ბუფერი. შედეგები ასახულია №5 სურათზე. მოყვანილი მონაცემებიდან ჩანს, რომ ცილას გააჩნია ულტრაისფერ არეში შთანთქმის ორი მაქსიმუმი - 210 და 260ნმ და ხილულ არეში ერთი - 400ნმ ტალღის სიგრძეზე.



სურათი №1. სალიცილის მჟავას (ა) და რუტინის (ბ) საკალიბრო გრაფიკები

სალიცილის მჟავას გაზურიერომატოგრაფია მასსპექტრომეტრით; ანალიზის პირობები: აპარატი - Agilent Technologies 7890B GC System /5977A MSD: სვეტი - Elite 5-MS; 30m X250 μ m X 0.25 μ m; ღუმელის ტემპერატურა - 50°C-310°C (რეჟიმი - პროგრამული); ინჟექტორის ტემპერატურა - 250°C; ტრანსფერლანის ტემპერატურა - 310°C; აირმატარებელი - ჰელიუმი - 1მლ/წთ; იონიზაციის წყარო EI - 70 ev; სკანირების რეჟიმი - TIC (40 - 500 Da).

სალიცილის მჟავას, რუტინის და ცილის მაღამოების მომზადება. წინასწარ მზადდება 30გ ფუძე, რომელიც შედება გამლღვალი ვაზელინის, ემულსიური ცვილისაგან და ვაზელინის ზეთისაგან. ფუძე იყოფა 3 ნაწილად (10,0-10,0-5,0გ). ფუძის ერთ ნაწილში შეავენ სალიცილის მჟავა, მეორეში - რუტინი და მესამე ნაწილში - კი ცილა. მაღამოს ფუძეში შეტანილი სალიცილის მჟავას და რუტინის რაოდენობა შეადგენს 1,0-1,0გ-ს, ცილის კი - 0,25გ-ს. შერევა ხდება ერთგვაროვანი მასის მიღებამდე.

შერჩეული დიფუზური მემბრანების წინასწარი დამუშავება /7/: კვერცხის აპეკის მემბრანა მუშავდება 0,1N HCl-ით 36 საათის განმავლობაში. შედეგად მჟავა შედის კალციუმთან რეაქციაში და ხელს უწყობს კვერცხის აპეკის გარე გარსის მოცილებას. რეაქციის მიმდინარეობაზე მეტყველებს ჰაერის ბუშტუკების წარმოქმნა. მიღებულია აპეკირამდენჯერმე ირეცხება გამოხდილი წყალით.

ცელოფანის მემბრანას, ფორებით-0,025მმ, ავსებენ გამოხდილ წყალში 24 სთ-ის განმავლობაში.

ახალშობილი ვირთაგვის კანის ამოკვეთა მოხდა მუცლის არედან. კანს სცილდებოდა ცხიმოვანი ქსოვილი, სისხლძარღვები და თავსდებოდა ფოსფატურ ბუფერში pH 7,4, რომელიც შეიცავს ანტიბიოტიკებს - გენტამიცინს (0,16 მგ/მლ), ინახებოდა გამოყენებამდე.

ქათმის ბიბილოს კანი (შემდგომში - ბიბილოს კანი) ამოიკვეთებოდა, სცილდებოდა კანქვეშა ცხო-მოვანი ქსოვილი, სისხლძარღვები და კანი ინახებოდა ფოსფატურ ბუფერში (pH 7.4), რომელიც შეიცავს ან-ტიბიოტიკს გენტამიცინს (0,16მგ/მლ).

აქტიური ფარმაცევტული ინგრედიენტების შეღწევადობის კინეტიკა განისაზღვრა ფრანსის ორკამერიანი დიფუზური უჯრედების გამოყენებით. შერჩეული მემბრანები განთავსდა დიფუზური უჯრედის ორ განყოფილებას: დონორს და რეცეპტორს შორის. 5 მემბრანის ზედაპირზე დატანილი იქნა სალი-ცილის მჟავას 10-10გ ექვივალენტის შემცველი მაღა-მო, ანუ 0,1-0,1გ. მექენიკური მემბრანაზე დატანილი იყო 0,1გ მალამოს ფუძე აქტიური ფარმაცევტული ინგრე-დიენტის შემცველობს გარეშე (საკონტროლო). დი-ფუზურ არეალ გამოყენებული იყო ფოსფატური ბუფერი (pH 7,4). აფის შეღწევადობის კინეტიკის გან-საზღვრისათვის 12 საათის განმავლობაში, ყოველ 1 საათში ხდებოდა რეცეპტორიდან საანალიზო ნიმუ-შის აღება 3მლ-ის რაოდენობით, ამასთან, რეცეპტორ-ში ემატებოდა იმავე რაოდენობის სუფთა (აფის გარე-შე) ფოსფატური ბუფერი. კვლევის განმავლობაში რე-ცეპტორის ტემპერატურა შეადგენდა $37 \pm 0.5^{\circ}\text{C}$ -ს. ანალოგიურად განისაზღვრა რუტინის დიფუზია. ალებული საანალიზო ნიმუშები გაიფილტრა ქაღალ-დის უნაცრო ფილტრში და ხსნარში აფის შემცველო-ბა განისაზღვრა სპექტროფორომეტრულად 297 ნმ (სალიცილის მჟავას) და 358ნმ (რუტინის) ტალღის სიგ-რძეზე /2,3,4,5,7,8/. ცილის შემთხვევაში კვლევა ჩატარდა იგივე პირობებში. მემბრანაზე დატანილი ცილის შემცველი მალამოს რაოდენობა შეადგენდა 0,1გ-ს, რაც შეესაბამებოდა 5მგ აქტიურ ფარმაცევ-ტულ ინგრედიენტს.

მემბრანებში შეკავებული აფის რაოდენო-ბის განსაზღვრა განხორციელდა შემდეგნაირად: აქტიური ფარმაცევტული ინგრედიენტების გამოთა-ვისუფლების კინეტიკის განსაზღვრის შემდეგ მემ-ბრანა სუფთა სკალპელით იჭრებოდა 1-2მმ ზომის ნაჭრებად. შემდეგ მემბრანის ნაჭრები გადაიტანებო-და ქიმიურ ჭიქაში, ემატებოდა ფოსფატური ბუფერი (pH7,4) და მუშავდებოდა ულტრაბგერებით (სონიკა-ტორი, სიხშირე 20,000 Hz) 30 წთ-ის განმავლობაში.

მიღებულ ხსნარი იფილტრებოდა ქაღალდის უნაცრო ფილტრში, ხსნარში აფის შემცველობა განისაზღვრე-ბოდა სპექტროფორომეტრულად.

მიღებული მონაცემები დამუშავდა სტანდარტუ-ლი ვარიაციული სტატისტიკის მეთოდით. მონაცემე-ბის სარწმუნობის დასადგენად გამოყენებული იყო სტიუდენტის კრიტერიუმი. მონაცემების სარწმუნო-ბა შეადგენდა 95-99%-ს.

შედეგები და განხილვა

სალიცილის მჟავას შეღწევადობის კინეტიკა, *ex vivo* ცდაში-ბიბილოს კანში, ფრანსის ორკამერიანი დი-ფუზური უჯრედების გამოყენებით, თვისებრივად განისაზღვრა გაზური ქრომატოგრაფია-მასსპექ-ტრომეტრით. შედეგები ასახულია №2 სურათზე.

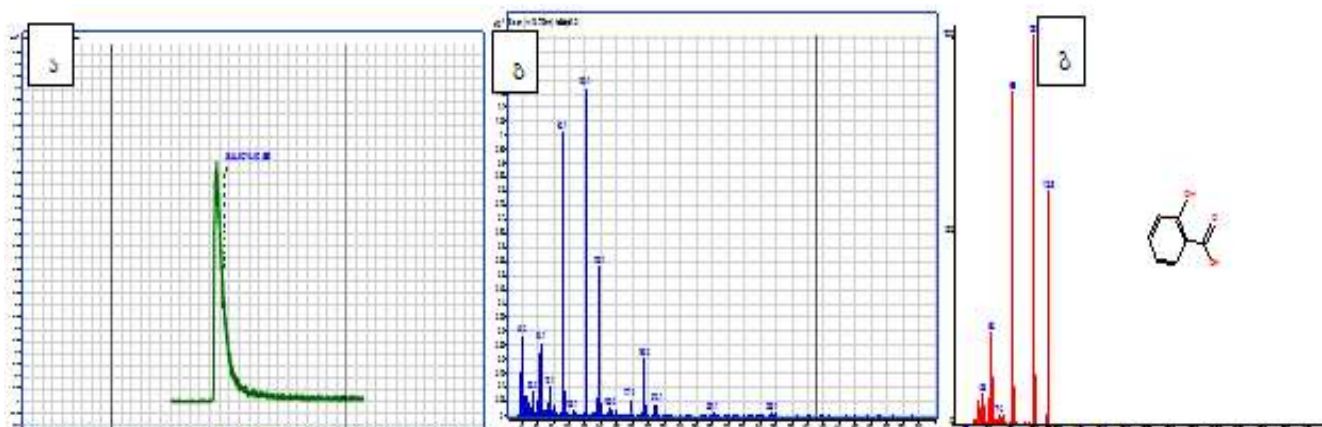
სალიცილის მჟავას MS სპექტრის შედარებით NIST-ის მონაცემთა ბაზასთან დასტურდება მისი იდენტურობა, რაც მეტყველებს საკვლევ ობიექტში აფის შემცველობაზე.

სალიცილის მჟავას და რუტინის მალამოების დი-ფუზიის პროფილი განისაზღვრა *in vitro* და *ex vivo* ცდაში, ფრანსის ორკამერიანი დიფუზური უჯრედე-ბის გამოყენებით, შედეგები ასახულია №3 და №4 სუ-რათებზე.

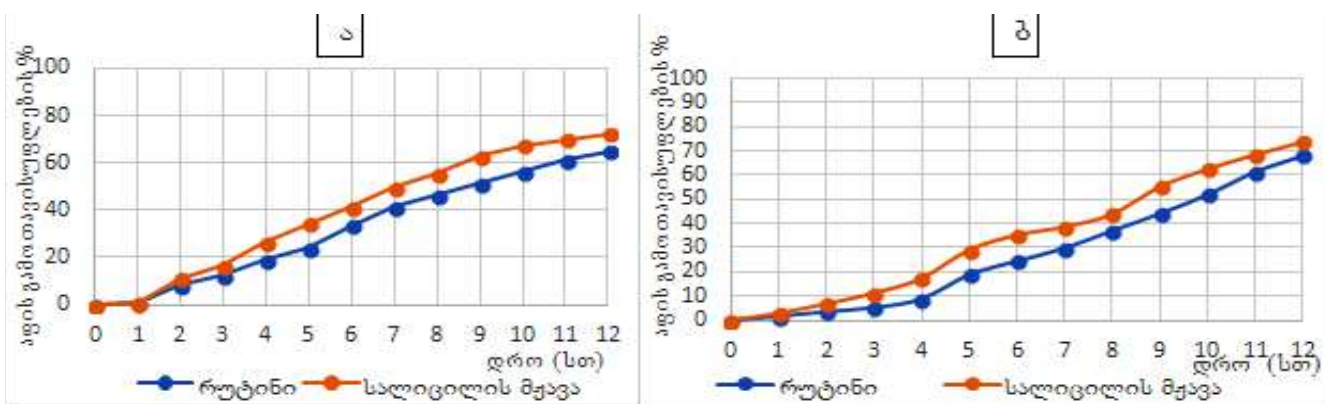
სალიცილის მჟავას და რუტინის მალამოების დი-ფუზური პროფილის შესწავლის შედეგად აღმოჩნდა, რომ 12 საათის შემდეგ ცელოფანის მემბრანას აღ-ნევს სალიცილის მჟავას და რუტინის 72,22% და 64,94% (სურ. №3), კვერცხის აპკს - 73,74 და 68,22%, შესაბამისად (სურ. №3), ბიბილოს კანს კი - 70,24 და 65,77%, შესაბამისად (სურ. №4). აფის შეღწევადობის ყველაზე მაღალი მაჩვენებელი დაფიქსირდა ახალშო-ბილი ვირთაგვის კანში - 76,52 და 70,14%, შესაბამი-სად, (სურ. №4 ბ).

რაც შეეხება ცილის შემცველი მალამოს დიფუზიი-ის პროფილთან დაკავშირებით კი *ex vivo* ცდაში-ბიბი-ლოს და ვირთაგვის კანში, 12 საათის განმავლობაში, ჩატარებული კვლევებით დადგინდა, რომ საანალი-ზო ნიმუშების სპექტრი სრულ თანხვედრაშია ცილის შთანთქმის სპექტრთან ულტრაიოსფერ და ხილულ არეში (სურ. №5). მიღებული შედეგები (სურ. № 5) მოწ-მობს თცვ-ის დიფუზიაზე შესწავლილ მემბრანებში.

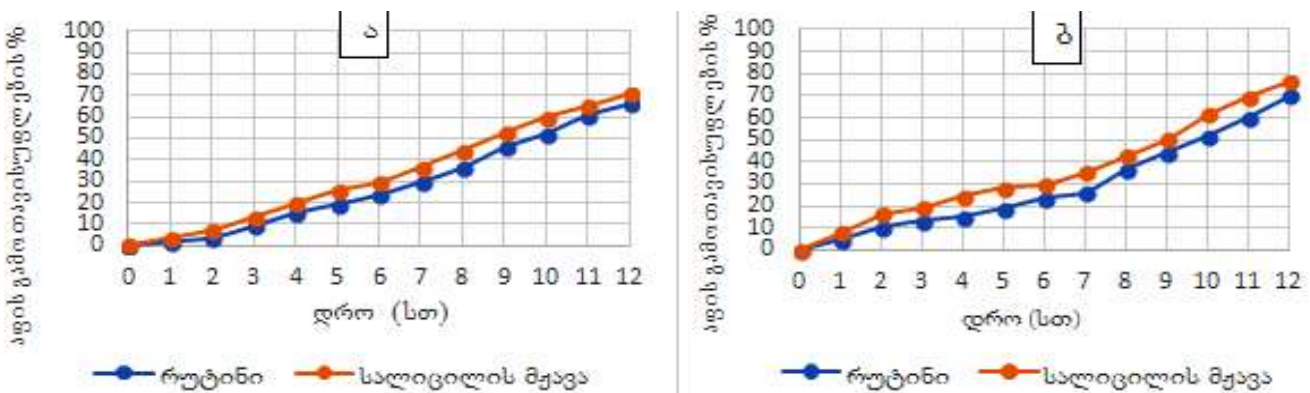
მემბრანების მიერ შეკავებული აქტიური ფარ-მაცევტული ინგრედიენტების განსაზღვრის შედეგე-ბი მოცემულია №6 სურათზე.



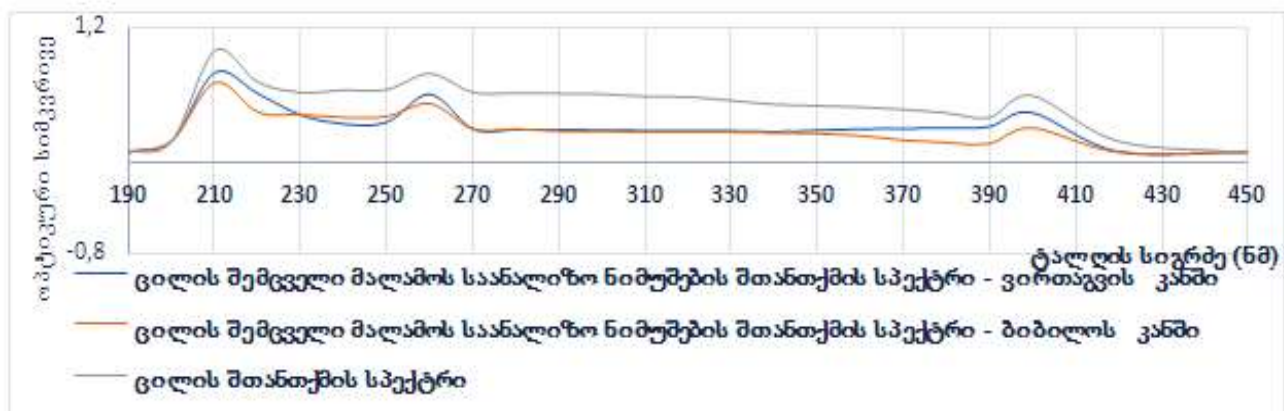
სურათი №2. საანალიზო ობიექტში სალიცილის მჟავას (ა) გაზური ქრომატოგრამა (GC-MS), საანალი-ზო ობიექტში სალიცილის მჟავას (ბ) MS სპექტრი, სალიცილის მჟავას MS სპექტრი NIST-ის მონაცემთა ბაზიდან (გ)



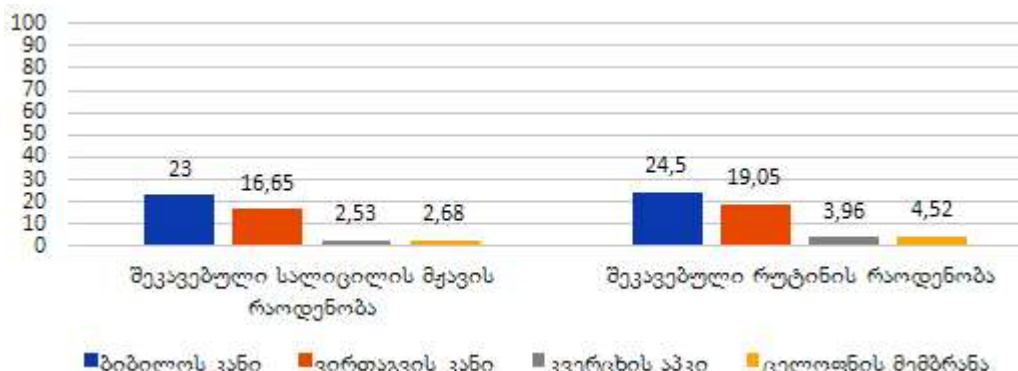
სურათი N3. სალიცილის მუავას და რუტინის მაღამოების დიფუზიის პროფილი: а) ცელოფანის მემბრანაში, ბ) კვერცხის აპეში



სურათი №4. სალიცილის მუავას და რუტინის მაღამოების დიფუზიის პროფილი: а) ბიბილის კანში, ბ) ახალშობილი ვირთაგვის კანში



სურათი N5. თცკე-ის და მისი შემცველი მაღამო-ების საანალიზო ნიმუშების (ვირთაგვის და ბიბილის კანში დიფუზიის შემდეგ) შთანთქმის სპექტრები



სურათი №6. მემბრანების მიერ აქტიური ფარმაცევტიული ინგრედიენტების შეკავებული რაოდენობა

მოყვანილი მონაცემებიდან (სურათი №6) ჩანს, რომ სალიცილის მუავას და რუტინს მცირე რაოდენობით აკავებს კვერცხის აპკი და ცელოფანი (2,0; 2,8 და 3,1; 3,9%, შესაბამისად). ბიბილოს კანი აკავებს აფის მაქსიმალურ რაოდენობას (23,2% სალიცილის მუავა და 24,7% რუტინი). შედარებით ნაკლები რაოდენობით (სალიცილის მუავა 16,2% და რუტინი 18,3%) შეაკვთვით გირთაგვის კანძა.

ჩატარებული ექსპერიმენტული კვლევით დადგინდა, რომ ვირთაგვის კანძი მიმდინარე დიფუზური პროცესების სიჩქარე აღემატება ქათმის ბიბილოს კანს. ამასთან აქტიური ფარმაცევტული ინგრედიენტების შეკავების მაქსიმუმი დაფიქსირდა ქათმის ბიბილოს კანზი. პრეპარატების მინიმალური შეკავება აღინიშნა კვერცხის აპკში და ცელოფანის მემბრანაში. აფის შეკავების დონის განსხვავების შესაძლო მიზეზი შეიძლება იყოს გამოყენებული მემბრანების სისქე, კანის ჰისტოლოგიურ-მორფოლოგიური შენება და ა.შ. ბიბილოს კანის სისქე აღემატება ვირთაგვის კანის სისქეს, ხოლო კვერცხის და ცელოფანის მემბრანა შედარებით თხელია.

ଲୋକେରାତ୍ମିକା:

1. ლიბრაძე გ., გუნია ვ., ბაკურიძე ა., მოდებაძე ი., ძიძიგური ლ., ძიძიგური დ., ვადაჭკორია ზ. ნეიტ-რალურ მაღამოში იმპბილიზირებული უჯრედების გამრავლების მანქიბირებელი ცილოვანი ფაქტორის თერაპიული მიზნით გამოყენების შესაძლებლობის შესწავლა. თსსუ-ის სამეცნიერო შრომათა კრებული. 2020.-გ.54. 155-158.
 2. Uttam Budhathoki, Mail Kshitij Gartoulla, Shailendra Shakya. Formulation and evaluation of transdermal patches of atenolol. Indonesian J. Pharm. 2016. Vol. 27 No. 4 : 196 – 202
 3. Navneet Kumar Verma, Anubha Gupta, Harendra Prasad, Vikash Chandra. Formulation and Evaluation of Transdermal Patches Containing Paracetamol. International Journal of Chemistry and Pharmaceutical Sciences. 2014, Vol.2(4): 774-776.
 4. P.Palanisamy, B.Jaykar, B.S.Venkateswarlu, R.Margret Chandira, and Suriyan. D. A Review on Transdermal Drug Delivery System. Indian Journal of Natural Sciences. Vol.10 / Issue 61 / August / 2020. P.1-22.
 5. Ramesh Y., Anjana A, Karunasree M., Manjula Devi B., Sankeerthana K., Sri Lakshmi P., Va-s-a-nthi A. Formulation and Evaluation of Atenolol Transdermal Patches. Cre. J. Pha. Res. 2015.1(2) 55-65.
 6. Shelke Usha Y.* , Mahajan Ashish A. Review on: an Ointment. Ijppr.Human, 2015; Vol. 4 (2): 170-192.
 7. Viral Shah, Sanjay Raval, Sapna Peer, U.M. Upadhyay. A comparative evalution of different membranes for their diffusion efficiency: an in vitro study. An international journal of pharmaceutical sciences. Vol-1, Issue-2, 2010. P.41-49.
 8. Woo Yeup Jeong, Mina Kwon, Hye Eun Choi and Ki Su Kim. Recent advances in transdermal drug delivery systems: a review. BiomaterialsResearch(2021) 25:24. P.1-15.
 9. Jung HL. Update on infantile hemangioma. Clin Exp Pediatr. 2021 Nov;64(11):559-572.
 - 10) Дзидзигури Д.В., Ибадзе И.Р., Асламазишвили Т.Т., Туманишвили Г.Д. Бахуташвили В.И., Чигогидзе Т.Г., Манагадзе Л.Г. “Сравнительное изучение влияния эндогенных почечных факторов

на пролиферативную активность эпителиоцитов”,
Щитология, 2005, 47(6): 497-500.

11) Leung AKC, Lam JM, Leong KF, Hon KL. Infantile Hemangioma: An Updated Review. Curr Pediatr Rev. 2021;17(1):55-69.

SUMMARY

Ghibradze G.¹, Bakuridze A.², Jokhadze M.²,
Dzidziguri L.³, Dzidziguri D.⁴, Vadachkoria Z.¹

COMPARATIVE STUDY OF DERMAL BIOAVAILABILITY OF ENDOGENOUS GROWTH-REGULATING PROTEINS USING NEUTRAL OINTMENTS BOTH *IN VITRO* AND *EX VIVO* STUDIES

**TSMU, DEPARTMENT OF CHILDREN AND
ADOLESCENT MAXILLO-FACIAL SURGERY AND
SURGICAL STOMATOLOGY¹, DEPARTMENT OF
PHARMACEUTICAL TECHNOLOGY², DEPARTMENT OF
ANESTHESIOLOGY AND REANIMATOLOGY,³ IVANE
JAVAKHISHVILI TBILISI STATE UNIVERSITY, DEPARTMENT
OF BIOLOGY²**

The present study was conducted to determine the release of the drug substances of various natures from soft dosage forms. The study was conducted using the Franz diffusion cell approach. Chicken comb skin, a newborn rat skin biopsy (taken from the abdomen), polyethylene, and eggshell membranes were used as the membrane model. The study subjects were salicylic acid, rutin and protein. The diffusion rate of the drugs was determined in the phosphate buffer area (pH 7.4) at $37 \pm 0.5^\circ\text{C}$ temperature for 12 hours. The concentrations of salicylic acid and rutin retained by the membranes used in the diffusion process were determined at the end of the study (after 12 hours). The experimental studies have shown that the rate of diffuse processes in the rat skin is higher compared to the chicken comb skin. In addition, maximum retention of active pharmaceutical ingredients was observed in chicken comb skin. Minimal drug retention was observed in polyethylene and eggshell membrane samples.